

УДК 539.194

**РАСЧЕТ СПЕКТРОВ МАЛЫХ КОЛЕБАНИЙ  
МОЛЕКУЛЯРНЫХ КРИСТАЛЛОВ С УЧЕТОМ ВЛИЯНИЯ  
ВНУТРИМОЛЕКУЛЯРНЫХ КОЛЕБАНИЙ**

*Э. И. Мухтаров и А. А. Пичурин*

В атом-атомном потенциальном представлении энергии взаимодействия молекул в кристалле рассчитан полный спектр малых колебаний кристалла нафталина с учетом взаимодействия с низкочастотными внутримолекулярными колебаниями.

В работе [1] в атом-атомном потенциальном представлении решеточной энергии взаимодействия молекул нами был рассчитан полный спектр малых колебаний ряда молекулярных кристаллов. Расчет содержал два приближения: приближение атом-атом потенциала для взаимодействия и учет ангармонизма в квазигармоническом приближении. Поскольку вклад ангармонизма растет с амплитудой колебаний, то наиболее чистые условия проверки приближения атом-атом потенциалов — сравнение с экспериментальным спектром при абсолютном нуле.

Однако, как показал анализ кривых температурной зависимости спектров, при этом необходимо учитывать взаимодействие решеточных колебаний с внутримолекулярными колебаниями.

Учет внутримолекулярных колебаний приводит к появлению дополнительных координат в выражении для энергии и членов кориолисова взаимодействия и центробежного возмущения в выражении для кинетической энергии движения молекулы в решетке.

$$U = \frac{1}{2} \sum_k [U(R_k, \Omega_k, q_{1k}, \dots, q_{nk}) + k_1 q_{1k}^2 + \dots + k_n q_{nk}^2],$$

$$T = \frac{1}{2} \sum_k [M \dot{R}_k^2 + I_x \dot{\Omega}_{kx}^2 + I_y \dot{\Omega}_{ky}^2 + I_z \dot{\Omega}_{kz}^2 + \mu_{1k} \dot{q}_{1k}^2 + \dots + \mu_{nk} \dot{q}_{nk}^2 + \\ + a \dot{\Omega}_{kx} \dot{q}_{1k} + \dots + f \dot{\Omega}_{kz} \dot{q}_{nk} + I_{\alpha\beta} (q_{1k}, \dots, q_{nk}) \dot{\Omega}_{\alpha} \dot{\Omega}_{\beta}],$$

где  $k$  — номер молекулы в элементарной ячейке,  $M$  — масса,  $I_{x, y, z}$  — главные значения тензора моментов инерции,  $R, \Omega$  — соответственно угловые и линейные смещения молекулы,  $k_n$  — силовые постоянные,  $\mu_n$  — приведенные массы,  $q_n$  — внутримолекулярные координаты,  $a, \dots, f$  — коэффициенты при членах кориолисова взаимодействия,  $I_{\alpha\beta} (q_1, \dots, q_n)$  — зависящая от внутримолекулярных колебательных смещений часть тензора инерции молекулы.

В основном колебательном состоянии центробежное возмущение мало, а кориолисово взаимодействие, заметное при больших амплитудах внутримолекулярных колебаний, может быть минимизировано наложением условий Эккарта [2].

С учетом только силового взаимодействия внутримолекулярных колебаний с решеточными уравнения движения молекулы в кристалле можно записать в виде

$$\left. \begin{aligned} M\ddot{R}_{kx} &= -\frac{\partial U}{\partial R_{kx}}, \\ I_x\ddot{\Omega}_{kx} &= -\frac{\partial U}{\partial \Omega_{kx}}, \\ \mu_1\ddot{q}_{1k} &= -k_1 q_{1k} - \frac{\partial U}{\partial q_{1k}}, \\ \dots &\dots \\ \mu_n\ddot{q}_{nk} &= -k_n q_{nk} - \frac{\partial U}{\partial q_{nk}}. \end{aligned} \right\} \quad (1)$$

Задача существенно упрощается, если внутримолекулярное движение с частотой  $\omega_n$  можно описать одной естественной координатой  $q_n$ . В этом

случае, очевидно, величины  $k_n/\mu_n$  в системе (1) представляют собой квадраты экспериментальных значений частот. При решении системы (1) достаточно ограничиться низкочастотными внутримолекулярными колебаниями.

В настоящей работе рассчитывается спектр малых колебаний кристалла нафталина в функции температуры с учетом внутримолекулярных колебаний в рамках описанного выше приближения. В ИК спектрах нафталина [3-5] обнаружены две низкочастотные полосы  $\omega_1 = 176 \text{ см}^{-1}$  и  $\omega_2 = 195 \text{ см}^{-1}$  (следующая по величине частота —  $359 \text{ см}^{-1}$ ).

В работе [3] приведены формы колебаний, из которых мы исходили (рис. 1).

Результаты расчета приведены на рис. 2. Как видно из этого рисунка, учет внутримолекулярных колебаний приводит к сближению расчетной и экспериментальной кривых для высоких частот ( $u^S$ ,  $u^A$  и  $v^S$ ). Однако остается в противоречии отнесение частот  $u$ -ветви по модам  $A$  и  $S$ . Низ-

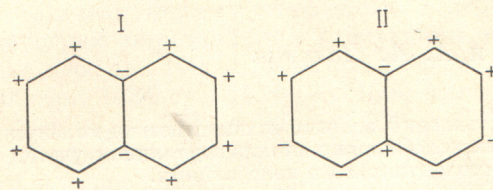


Рис. 1. Формы низкочастотных внутримолекулярных колебаний для частот  $\omega_1 = 176 \text{ см}^{-1}$ ,  $\omega_2 = 195 \text{ см}^{-1}$ .

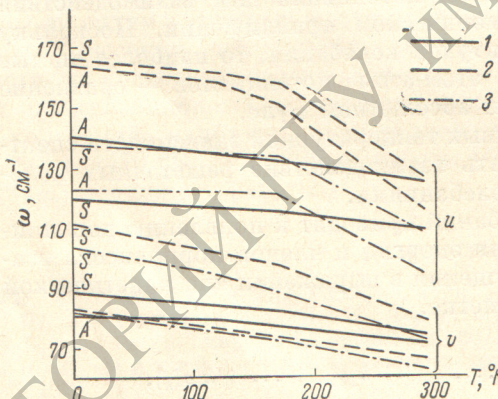


Рис. 2. Температурная зависимость частот либрационных колебаний.

1 — эксперимент, 2 — расчет без учета взаимодействия, 3 — с учетом взаимодействия.

кочастотные ветви, как и следовало ожидать (на рис. 2 не приведены, см. [1]). Для расщепленных внутримолекулярных частот получены следующие значения ( $T = 293^\circ \text{K}$ ):  $\omega_1^S = 174 \text{ см}^{-1}$ ,  $\omega_1^A = 192 \text{ см}^{-1}$ ;  $\omega_2^S = 238 \text{ см}^{-1}$ ,  $\omega_2^A = 236 \text{ см}^{-1}$ .

Задача по расчету внутримолекулярных и решеточных колебаний была решена в общем виде для кристалла нафталина в работе [6].<sup>1</sup> Данные этой работы по частотам малых колебаний и двум расщепленным внутримолекулярным, рассчитанные для одной температурной точки ( $T = 293^\circ \text{K}$ ), находятся в хорошем согласии с нашими. Подход к решению задачи по учету взаимодействия внутримолекулярных и решеточных колебаний,

<sup>1</sup> Взаимодействие молекул в кристалле описывалось в атом-атомном приближении с использованием параметров потенциальных кривых из наших работ.

предложенный в работе [6], нам представляется несколько сложным и громоздким.

Как видно из изложенного, те же результаты могут быть получены значительно более простым путем.

В заключение авторы приносят свою благодарность А. И. Китайгородскому за помощь и постоянное внимание к работе.

#### Литература

- [1] А. И. Китайгородский, Э. И. Мухтаров. Опт. и спектр., 32, 706, 1971.
- [2] А. Д. Ландау, Б. М. Лифшиц. Квантовая механика. Физматгиз, М., 1963.
- [3] E. Lippincott, E. O'Reilly. J. Chem. Phys., 23, 238, 1955.
- [4] A. McClellan, R. Pimentel. J. Chem. Phys., 23, 245, 1955.
- [5] S. Mitra, H. Bernstein. Canad. J. Chem., 37, 553, 1959.
- [6] G. Pawley. Disc. Farad. Soc., 48, 125, 1969.

Поступило в Редакцию 12 ноября 1971 г.